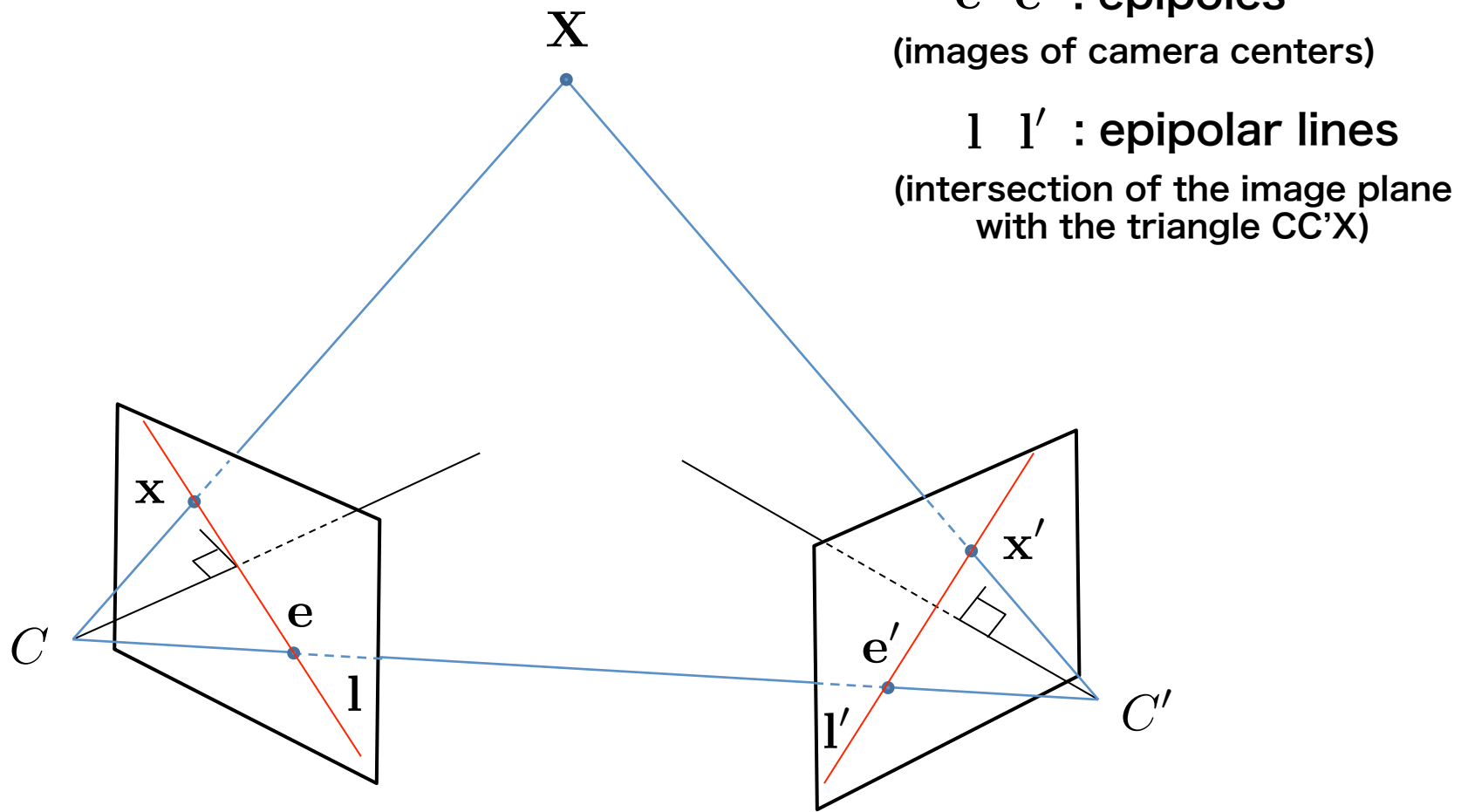


コンピュータビジョン 多視点幾何

Epipolar geometry

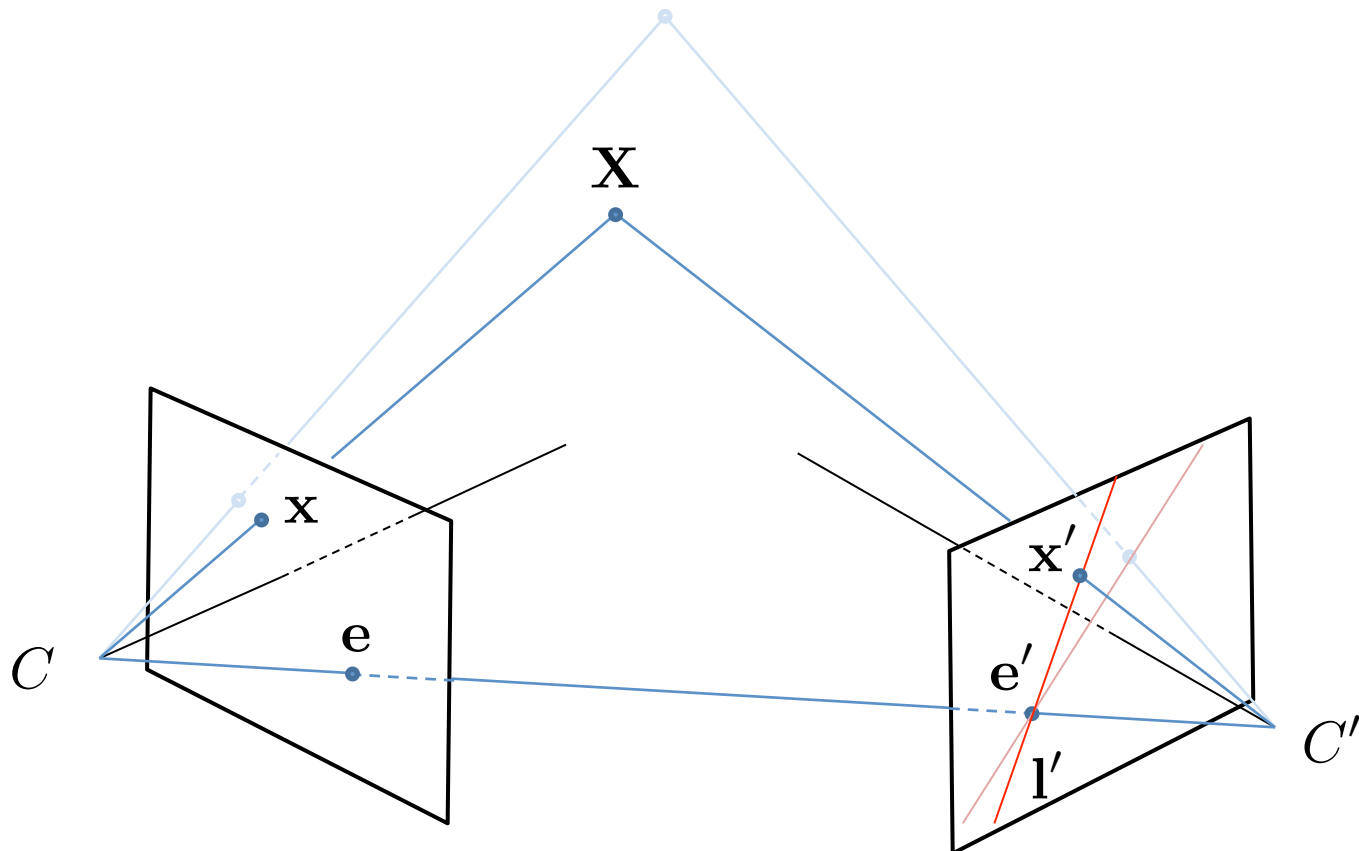
(Two-view geometry)



Epipolar geometry

(Two-view geometry)

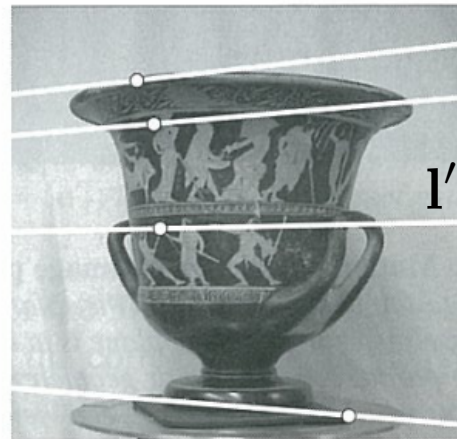
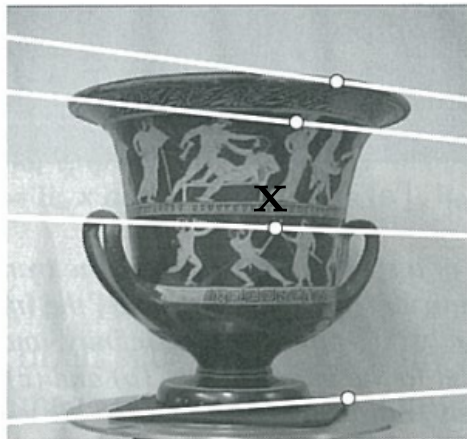
- x を決めると l' が決まる



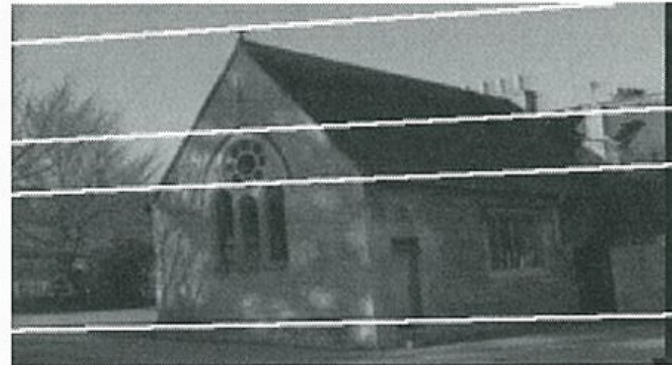
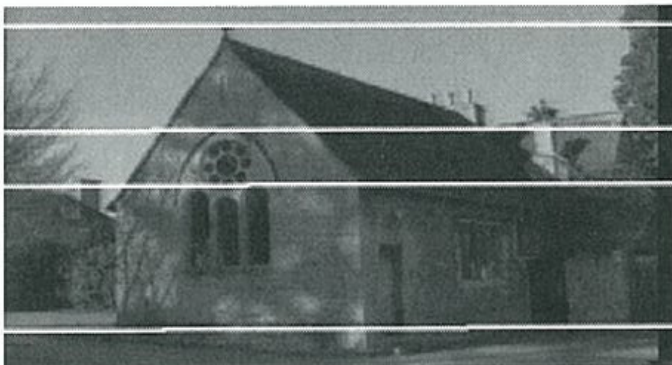
Epipolar geometry

(Two-view geometry)

- x を決めると l' が決まる



- epipoleが無限遠にあるとき



[Hartley-Zisserman03]

Essential matrix

$$\mathbf{E} = [\mathbf{t}]_{\times} \mathbf{R}$$

\mathbf{E} は自由度5

$$\mathbf{R}(3) + \mathbf{t}(3) - \text{scale}(1) = 5$$

$$\text{座標変換 : } \mathbf{X}' = \mathbf{R}\mathbf{X} + \mathbf{t}$$

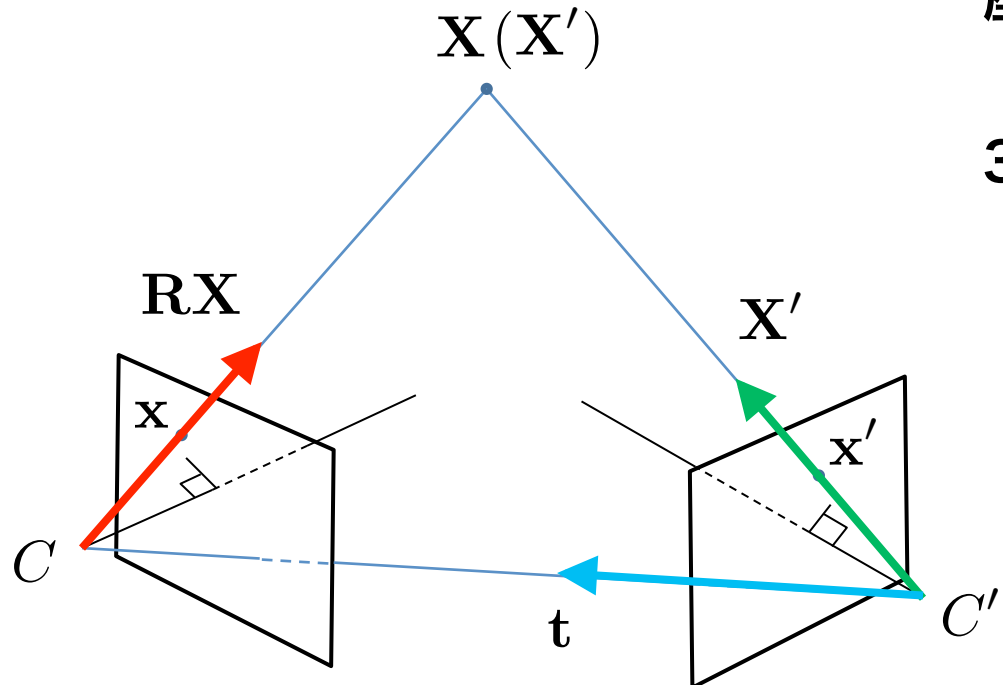
3つのベクトルが同一平面上

$$\rightarrow \mathbf{X}'^{\top} (\mathbf{t} \times \mathbf{R}\mathbf{X}) = 0$$

$$\rightarrow \mathbf{X}'^{\top} ([\mathbf{t}]_{\times} \mathbf{R}\mathbf{X}) = 0$$

$$\rightarrow \mathbf{X}'^{\top} ([\mathbf{t}]_{\times} \mathbf{R})\mathbf{X} = 0$$

$$\rightarrow \mathbf{X}'^{\top} \mathbf{E}\mathbf{X} = 0$$



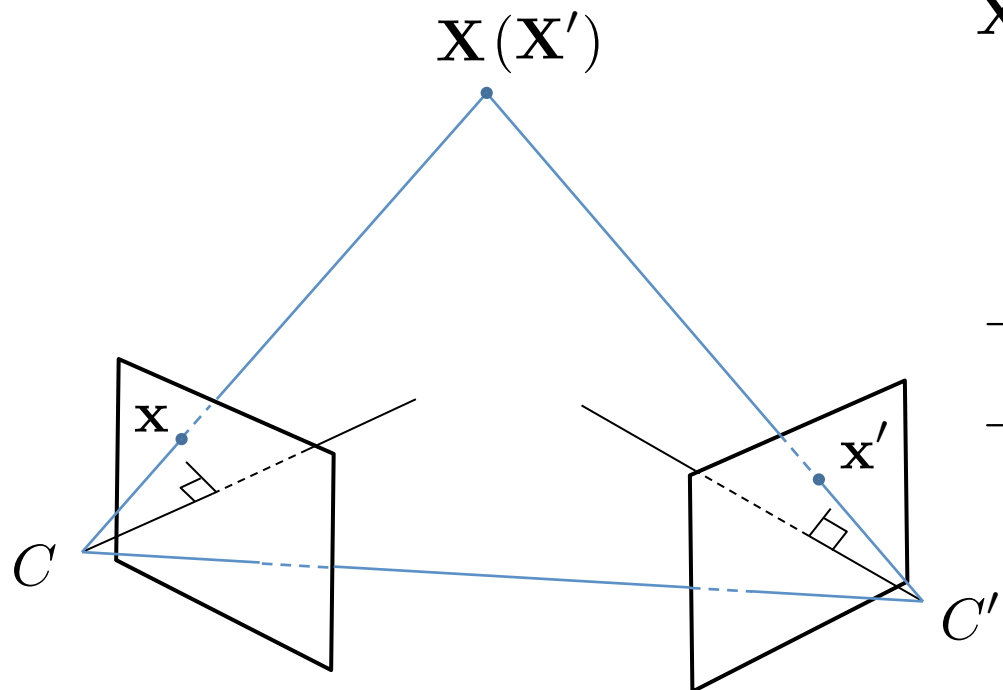
Fundamental matrix

$$\mathbf{F} = \mathbf{K}'^{-\top} \mathbf{E} \mathbf{K}^{-1}$$

\mathbf{F} は自由度7

$3 \times 3 - \text{scale}(1) - \text{"det}=0"}(1) = 7$

essential mat.の「画像座標版」



$\mathbf{X}'^\top \mathbf{E} \mathbf{X} = 0$ に以下を代入

$$\mathbf{x} \propto \mathbf{K} \mathbf{x} \rightarrow \mathbf{x} \propto \mathbf{K}^{-1} \mathbf{x}$$

$$\mathbf{x}' \propto \mathbf{K}' \mathbf{x}' \rightarrow \mathbf{x}' \propto \mathbf{K}'^{-1} \mathbf{x}'$$

$$\rightarrow (\mathbf{K}'^{-1} \mathbf{x}')^\top \mathbf{E} (\mathbf{K}^{-1} \mathbf{x}) = 0$$

$$\rightarrow \mathbf{x}'^\top (\mathbf{K}'^{-\top} \mathbf{E} \mathbf{K}^{-1}) \mathbf{x} = 0$$

$$\rightarrow \mathbf{x}'^\top \mathbf{F} \mathbf{x} = 0$$

Fundamental matrixの推定

8-point algorithm

$$\mathbf{x}'^\top \mathbf{F} \mathbf{x} = 0$$

$$x'x f_{00} + x'y f_{01} + x'f_{02} + y'x f_{10} + y'y f_{11} + y'f_{12} + x f_{20} + y f_{21} + f_{22} = 0$$



9

$$n \begin{bmatrix} x'_0 x_0 & x'_0 y_0 & x'_0 & y'_0 x_0 & y'_0 y_0 & y'_0 & x_0 & y_0 & 1 \\ x'_1 x_1 & x'_1 y_1 & x'_1 & y'_1 x_1 & y'_1 y_1 & y'_1 & x_1 & y_1 & 1 \\ & & & & & & \vdots & & \\ x'_{n-1} x_{n-1} & x'_{n-1} y_{n-1} & x'_{n-1} & y'_{n-1} x_{n-1} & y'_{n-1} y_{n-1} & y'_{n-1} & x_{n-1} & y_{n-1} & 1 \end{bmatrix} \begin{bmatrix} f_{00} \\ f_{01} \\ f_{02} \\ f_{10} \\ f_{11} \\ f_{12} \\ f_{20} \\ f_{21} \\ f_{22} \end{bmatrix} = \mathbf{0}$$

$$\mathbf{A}\mathbf{f} = \mathbf{0}$$

Fundamental matrixの推定

```
fundM.py  
  
if desc0 != None:  
    # Match the saved and the latest kp's  
    matches = bf.match(desc0, desc)  
    src_pts = numpy.float32([ kp0[m.queryIdx].pt \  
                            for m in matches ]).reshape(-1,1,2)  
    dst_pts = numpy.float32([ kp[m.trainIdx].pt \  
                            for m in matches ]).reshape(-1,1,2)  
    F, mask = cv2.findFundamentalMat(src_pts, dst_pts,  
                                      \cv2.FM_LMEDS)  
  
    ...  
    key = cv2.waitKey(10)  
  
    if key == 0x1b: # ESC  
        cv2.imwrite('img1.png', image)  
        numpy.savetxt('fundM.txt', F)  
        break  
    elif key == 0x20:  
        desc0 = desc.copy()  
        kp0 = kp[:]  
        cv2.imwrite('img0.png', image)  
        print 'Target updated!'
```

Space → 第1視点・ESC → 第2視点, fundM.txt にセーブ

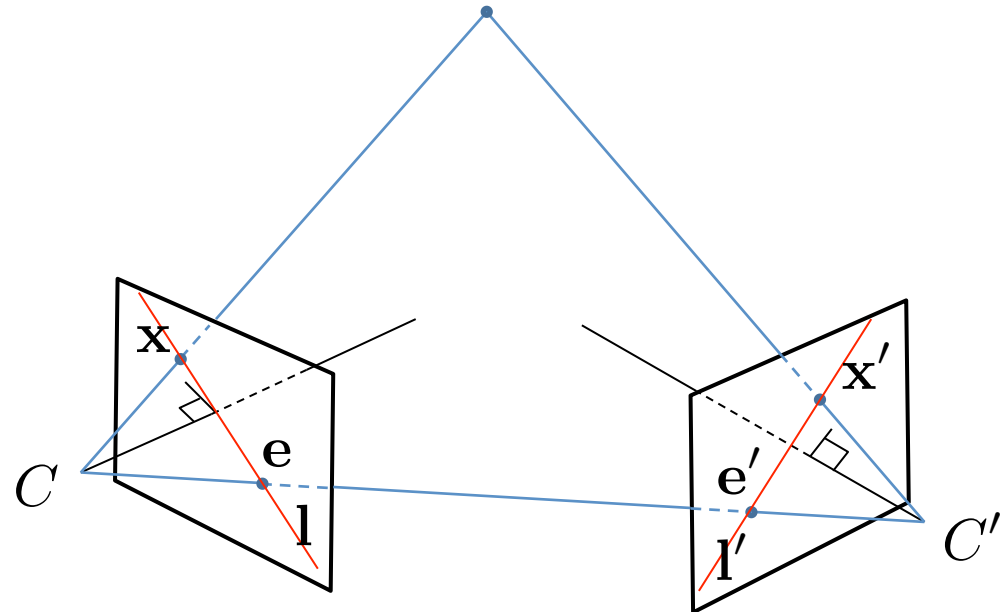
Fundamental matrix

x に対する epipolar line l' は $l' \propto Fx$ ($x'^\top l' = x'^\top (Fx) = 0$)

(x' に対する epipolar line l は $l \propto F^\top x'$ ($x^\top l = x^\top (F^\top x') = 0$))

x に対する epipolar line l' は定まらない: $Fe = F^\top e = 0$

どの epipolar line l も e を通る: $l^\top e = x'^\top Fe = x^\top (Fe) = 0$



直線の式: $l^\top x = 0$

$$l = [a, b, c]^\top$$

$$x = [x, y, 1]^\top$$

$$ax + by + c = 0$$

Epipolar line

epi_line.py

```
def on_mouse(event, x, y, flags, param):
    if event == cv2.EVENT_MOUSEMOVE:
        l = F.dot(numpy.array((x,y,1)))
        w = img1.shape[1]
        img1c = img1.copy()
        cv2.line(img1c, (0,int(-l[2]/l[1])), \
                  (w,int((-l[2]-l[0]*w)/l[1])), (0,0,255))
        cv2.imshow('Image 1', img1c)

cv2.namedWindow('Image 0')
cv2.setMouseCallback('Image 0', on_mouse)

img0 = cv2.imread('img0.png')
img1 = cv2.imread('img1.png')
img1c = img1.copy()
F = numpy.loadtxt('fundM.txt')
cv2.imshow('Image 0', img0)
cv2.imshow('Image 1', img1c)

while 1:
    key = cv2.waitKey(10)

    if key == 0x1b: # ESC
        break
```

Essential matrixの分解

- E を分解して R と t を取り出せる

E の特異値分解は必ず次の形に：

$$E = U \begin{bmatrix} 1 & 0 & 0 \\ 0 & 1 & 0 \\ 0 & 0 & 0 \end{bmatrix} V^\top$$

次の4通りの (R, t) がある：

$$(R, t) = (U W V^\top, u_3)$$

$$(R, t) = (U W V^\top, -u_3)$$

$$(R, t) = (U W^\top V^\top, u_3)$$

$$(R, t) = (U W^\top V^\top, -u_3)$$

$$W = \begin{bmatrix} 0 & -1 & 0 \\ 1 & 0 & 0 \\ 0 & 0 & 1 \end{bmatrix}$$

Essential matrixの分解

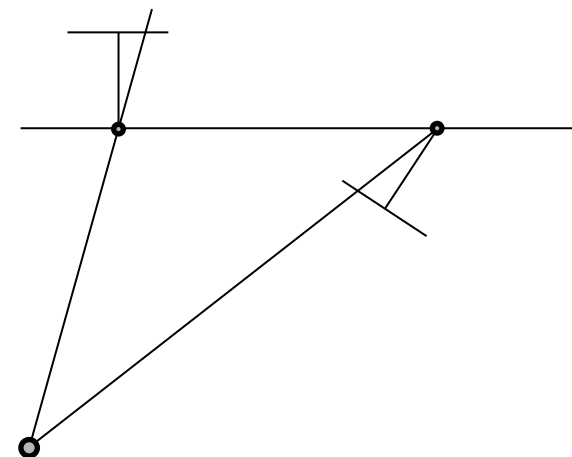
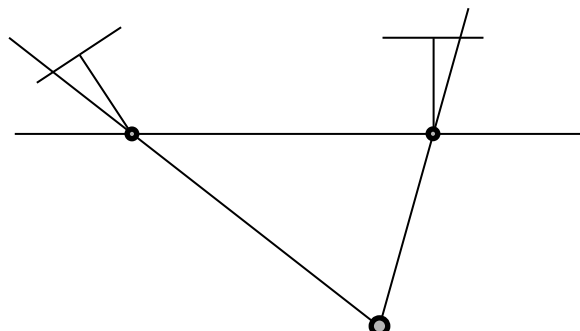
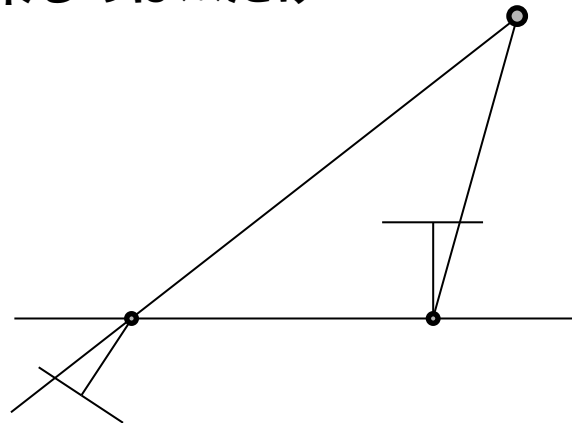
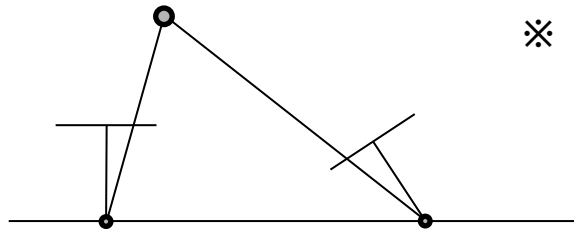
```
import numpy, cv2                                         decompE.py

def decompose_E(E):
    U, s, Vt = numpy.linalg.svd(E)
    print 'singluar value = ', s
    #print U.dot(numpy.diag(s)).dot(Vt), E
    W = numpy.array([[0,-1,0],[1,0,0],[0,0,1]])
    R0=U.dot(W).dot(Vt) # UWVt
    R1=U.dot(W.transpose()).dot(Vt) # UWVt
    t=U[:,2] # u3
    Rt_list=((R0,t),(R0,-t),(R1,t),(R1,-t))
    return Rt_list

if __name__=="__main__":
    F = numpy.loadtxt('fundM.txt')
    K = numpy.loadtxt('K.txt')
    E = (K.transpose().dot(F)).dot(K)
    Rt_list = decompose_E(E)
    print Rt_list
```

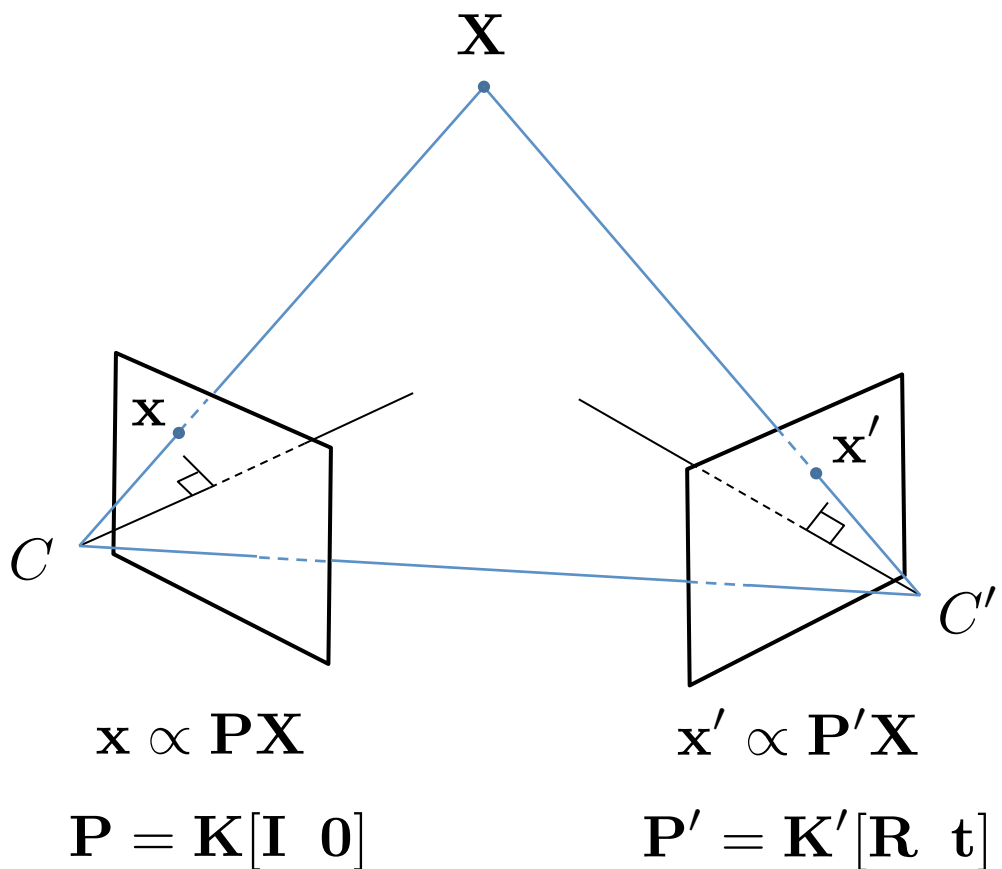
Essential matrixの分解

- 4通りの分解
 - ただし3次元点が両カメラの前に来るのは※だけ



Triangulation

- 2つのカメラ行列 P, P' が与えられたとき, x, x' から X を求める



$$x = \frac{p_{00}X + p_{01}Y + p_{02}Z + p_{03}}{p_{20}X + p_{21}Y + p_{22}Z + p_{23}}$$

$$y = \frac{p_{10}X + p_{11}Y + p_{12}Z + p_{13}}{p_{20}X + p_{21}Y + p_{22}Z + p_{23}}$$

$$x' = \frac{p'_{00}X + p'_{01}Y + p'_{02}Z + p'_{03}}{p'_{20}X + p'_{21}Y + p'_{22}Z + p'_{23}}$$

$$y' = \frac{p'_{10}X + p'_{11}Y + p'_{12}Z + p'_{13}}{p'_{20}X + p'_{21}Y + p'_{22}Z + p'_{23}}$$

↓

$$\begin{bmatrix} \mathbf{a}_0^\top \\ \mathbf{a}_1^\top \\ \mathbf{a}_2^\top \\ \mathbf{a}_3^\top \end{bmatrix} \begin{bmatrix} X \\ Y \\ Z \end{bmatrix} = \begin{bmatrix} b_0 \\ b_1 \\ b_2 \\ b_3 \end{bmatrix}$$

Triangulation

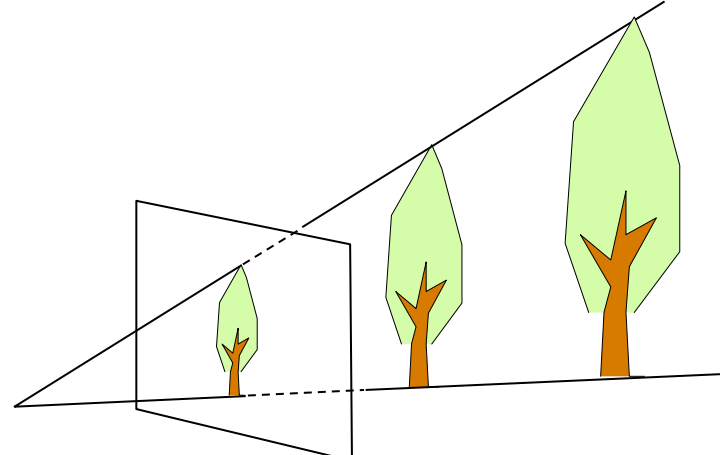
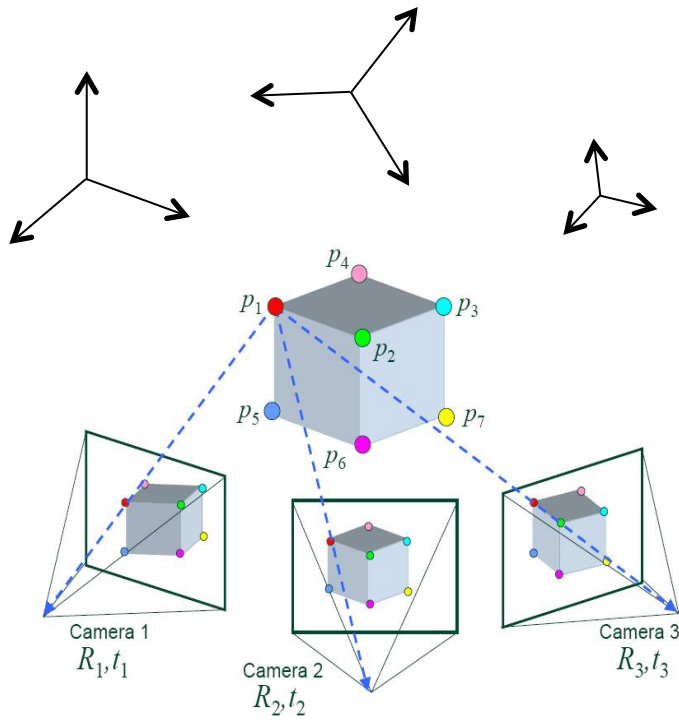
triangulate.py

```
F = numpy.loadtxt('fundM.txt')
K = numpy.loadtxt('K.txt')
pts0 = numpy.loadtxt('pts0.txt').transpose()
pts1 = numpy.loadtxt('pts1.txt').transpose()

E = (K.transpose().dot(F)).dot(K)
Rt_list = decompE.decompose_E(E)
P0 = numpy.array([[1,0,0,0],[0,1,0,0],[0,0,1,0]])
P0 = K.dot(P0)
for i in range(4):
    P1c = numpy.zeros((3,4))
    P1c[0:3,0:3] = Rt_list[i][0]
    P1c[:,3] = Rt_list[i][1]
    P1 = K.dot(P1c)
    print 'P1=', P1
    pts3d = cv2.triangulatePoints(P0, P1, pts0, pts1)
    pts3d = pts3d/pts3d[3,:] # normalize
    pts3d_1 = P1c.dot(pts3d) # X'=RX+t
    #print pts3d[2,:]
    print numpy.median(pts3d[2,:])
    print numpy.median(pts3d_1[2,:])
```

基本的な不定性

- 画像からの3次元復元では、世界座標系の取り方とスケールは不定
 - 視点が何枚あっても同じ



Structure-from-Motion (SfM)

- 問題： n 個のシーンの点を m 視点で撮影した画像（の点の座標）を元に、 n 点の 3 次元座標と m カメラの姿勢を求めたい

INPUT:

m image coordinates
of the n points

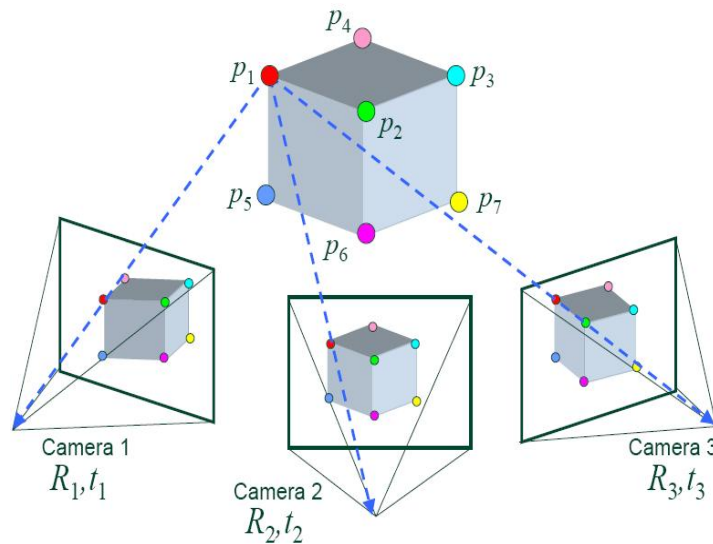
$$\mathbf{x}_{ij} = [x_{ij}, y_{ij}]$$

$$(i = 1, \dots, m)$$

$$(j = 1, \dots, n)$$

Image formation model

$$\mathbf{x}_{ij} \propto \mathbf{P}_i \mathbf{X}_j$$



OUTPUT:

n point coordinates
 m camera info.

$$\mathbf{X}_j \quad (j = 1, \dots, n)$$

$$\mathbf{P}_i \quad (i = 1, \dots, m)$$

カメラモデル (revisited)

$$\mathbf{x} = \begin{bmatrix} x \\ y \\ 1 \end{bmatrix}$$

Image coordinates

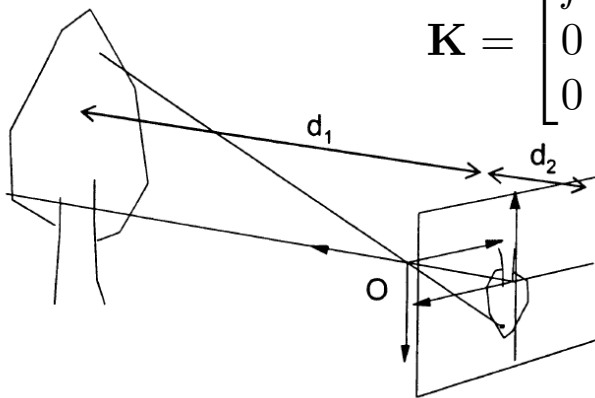
$$\mathbf{x} \propto \mathbf{P}\mathbf{X}$$

$$\mathbf{K} \quad \mathbf{[R \mid t]}$$



*Internal parameters
(focal length etc.)*

“What camera?”



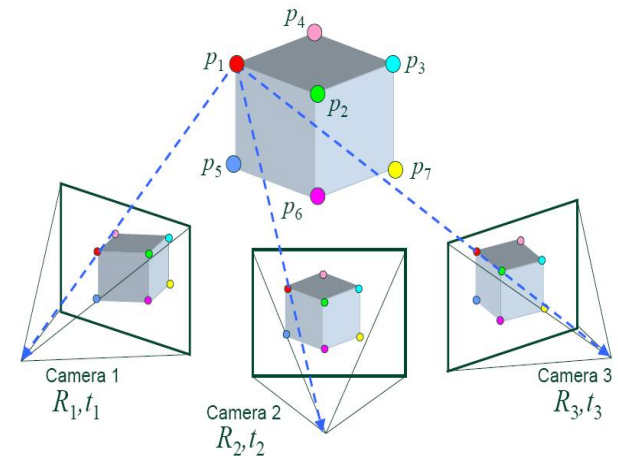
$$\mathbf{K} = \begin{bmatrix} f & s & x_0 \\ 0 & \alpha f & y_0 \\ 0 & 0 & 1 \end{bmatrix}$$

$$\mathbf{X} = \begin{bmatrix} X \\ Y \\ Z \\ 1 \end{bmatrix}$$

3D coordinates

*External parameters
 (=camera poses)*

“From where?”

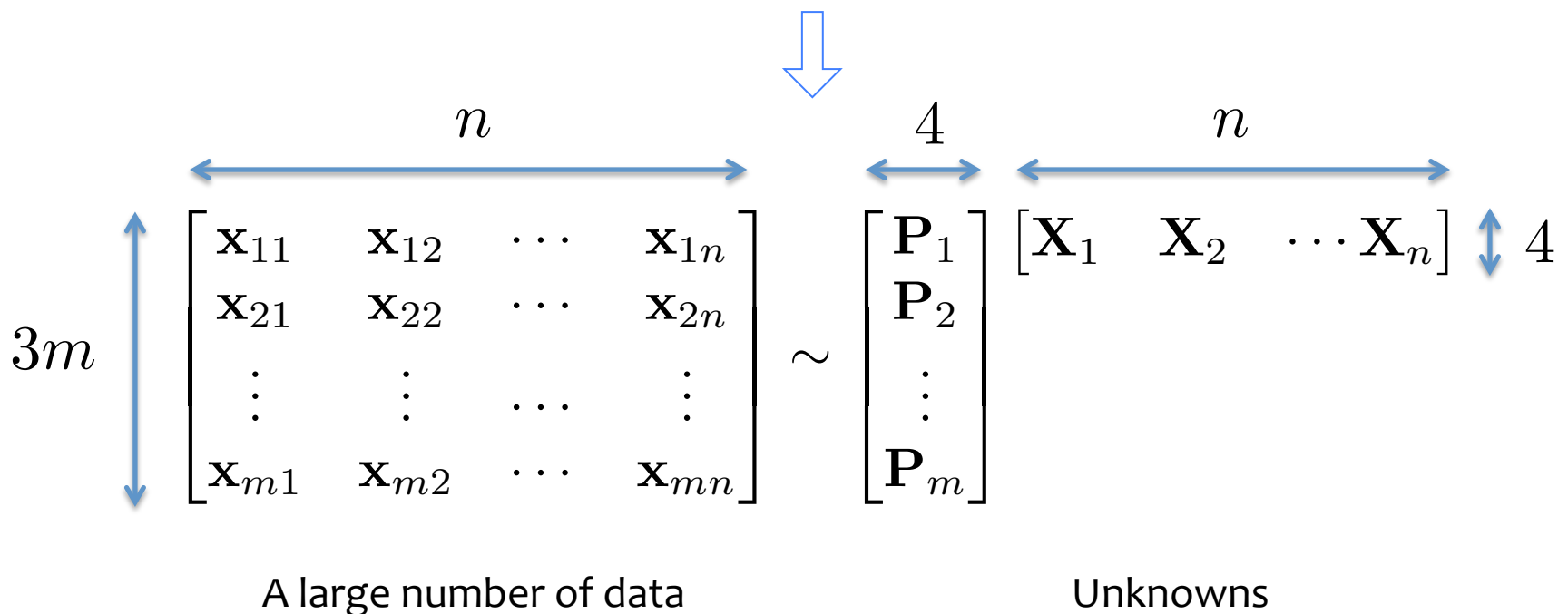


解き方 (Factorization)

Known Unknown Unknown

$$\mathbf{x}_{ij} \propto \mathbf{P}_i \mathbf{X}_j$$

$$(i = 1, \dots, m, \quad j = 1, \dots, n)$$



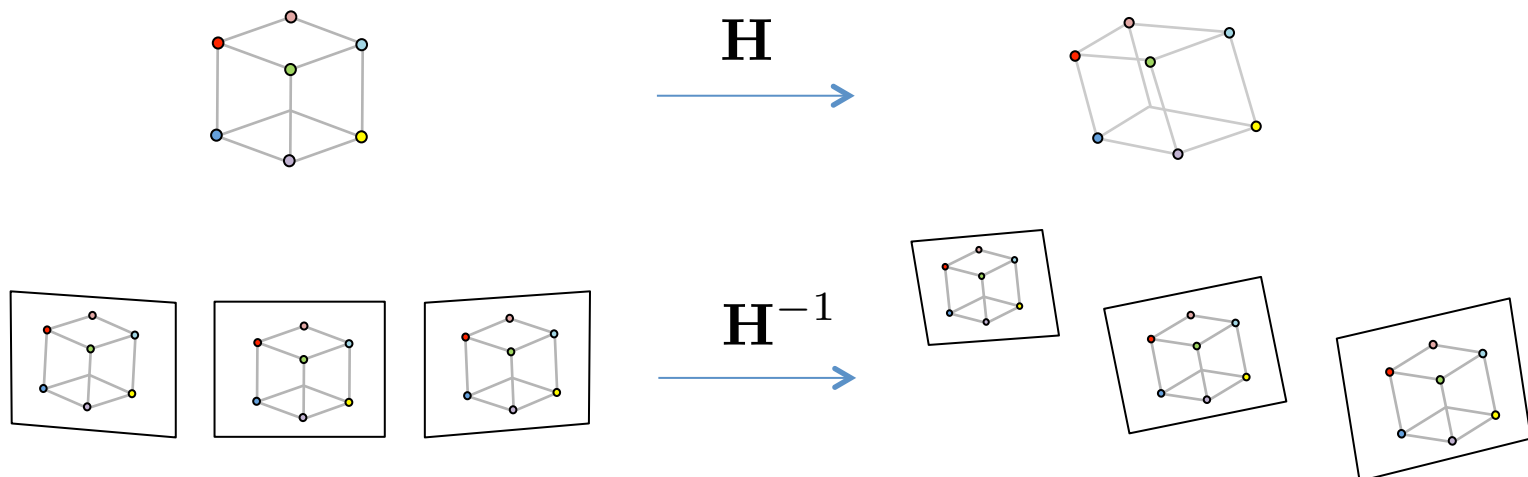
射影的不定性：Projective ambiguity

- 復元の不定性

- 画像だけでは一意には決まらない

$$\mathbf{x}_{ij} \propto \mathbf{P}_i \mathbf{X}_j = \mathbf{P}_i \mathbf{H}^{-1} \mathbf{H} \mathbf{X}_j = (\mathbf{P}_i \mathbf{H}^{-1})(\mathbf{H} \mathbf{X}_j) = \mathbf{P}'_i \mathbf{X}'_j$$

- 任意の3D projective trans. \mathbf{H} 分の自由度 (15 DOF)

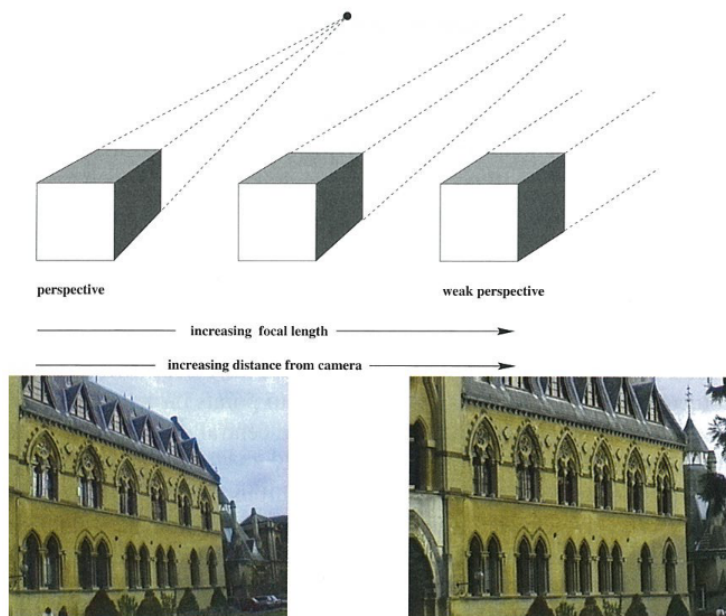


Affine camera

- カメラ行列が次の形のカメラをアフィンカメラと呼ぶ

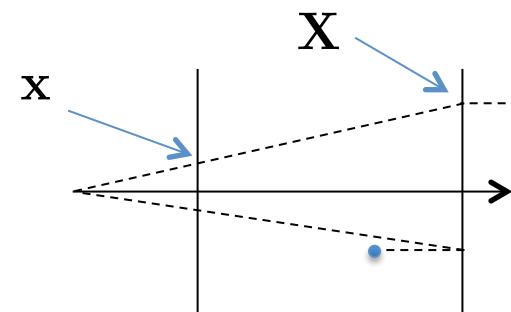
$$\mathbf{P} = \begin{bmatrix} * & * & * & * \\ * & * & * & * \\ 0 & 0 & 0 & 1 \end{bmatrix}$$

- 正射影カメラを表す他、長焦点レンズの近似にも
 - 正射影：orthographic projection, telecentric lens



“scaled orthographic projection”

$$\mathbf{P} = \begin{bmatrix} \alpha & & & \\ & \alpha & & \\ & & 1 & \\ \end{bmatrix} \begin{bmatrix} \mathbf{r}_1^\top & t_1 \\ \mathbf{r}_2^\top & t_2 \\ 0 & 0 \\ 0 & 1 \end{bmatrix}$$



Affine camera

- アフィンカメラの投影の式は線形になる

$$\begin{bmatrix} x \\ y \\ 1 \end{bmatrix} \propto \begin{bmatrix} * & * & * & * \\ * & * & * & * \\ 0 & 0 & 0 & 1 \end{bmatrix} \begin{bmatrix} X \\ Y \\ Z \\ 1 \end{bmatrix} \quad \text{or} \quad \begin{bmatrix} x \\ y \end{bmatrix} = \begin{bmatrix} * & * & * & * \\ * & * & * & * \end{bmatrix} \begin{bmatrix} X \\ Y \\ Z \\ 1 \end{bmatrix}$$

↓

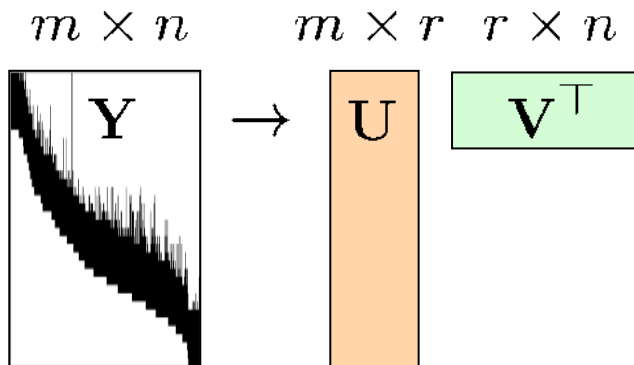
$$\tilde{\mathbf{x}} = \tilde{\mathbf{P}}\mathbf{X}$$

- SfMが行列分解の問題に帰着
 - Tomasi-Kanadeのfactorization method [1992]

$$\begin{bmatrix} \tilde{\mathbf{x}}_{11} & \tilde{\mathbf{x}}_{12} & \cdots & \tilde{\mathbf{x}}_{1n} \\ \tilde{\mathbf{x}}_{21} & \tilde{\mathbf{x}}_{22} & \cdots & \tilde{\mathbf{x}}_{2n} \\ \vdots & \vdots & \cdots & \vdots \\ \tilde{\mathbf{x}}_{m1} & \tilde{\mathbf{x}}_{m2} & \cdots & \tilde{\mathbf{x}}_{mn} \end{bmatrix} = \begin{bmatrix} \tilde{\mathbf{P}}_1 \\ \tilde{\mathbf{P}}_2 \\ \vdots \\ \tilde{\mathbf{P}}_m \end{bmatrix} \begin{bmatrix} \mathbf{X}_1 & \mathbf{X}_2 & \cdots & \mathbf{X}_n \end{bmatrix}$$

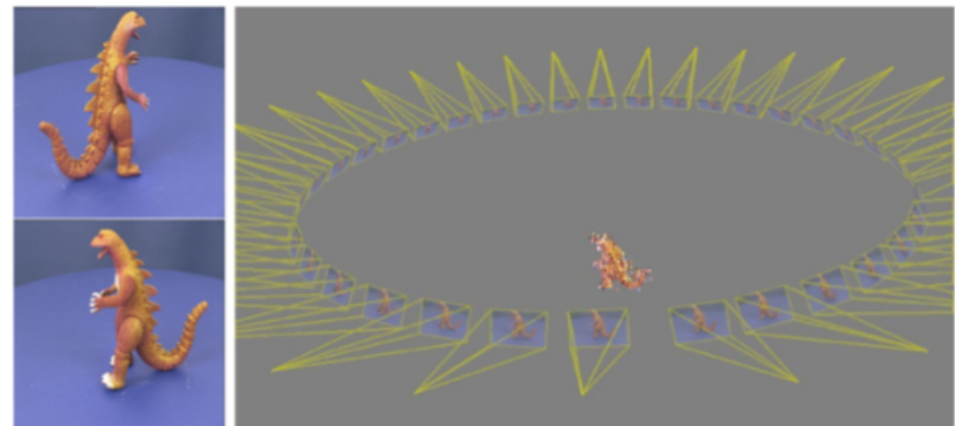
Affine factorization

- 全点が見えているわけではない
 - 非観測成分(missing components)を含む行列分解
 - Wibergのアルゴリズム
- 行列分解には不定性 → 射影的不定性のアフィンカメラ版
 - UとVには制約があるのでそれを使ってこの不定性を解消
 - PのP[0,0:3]とP[1,0:3]の長さが同じで互いに直交



$$\phi(\mathbf{U}, \mathbf{V}) = \|\mathbf{Y} - \mathbf{U}\mathbf{V}^\top\|_F^2 \rightarrow \min$$

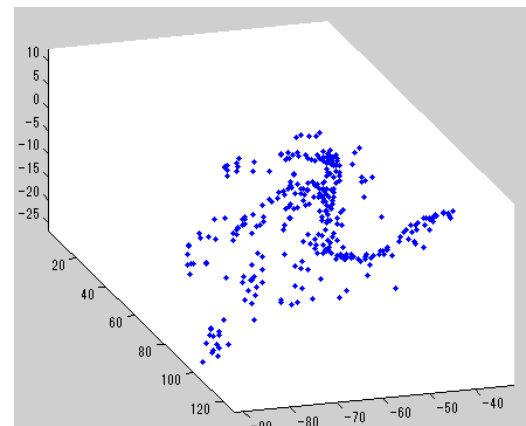
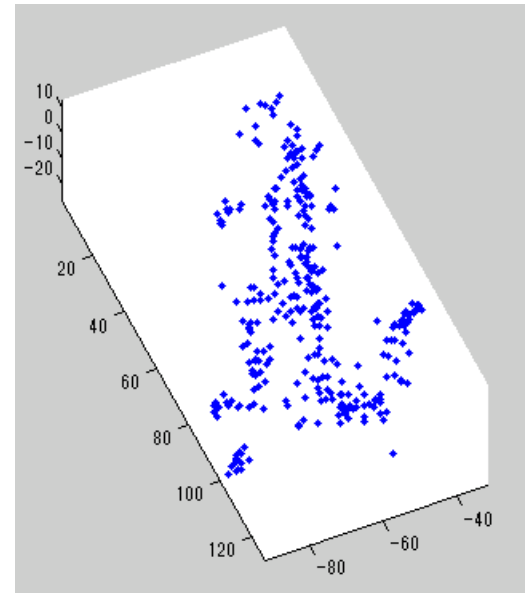
$$\mathbf{P} = \begin{bmatrix} \alpha & & \\ & \alpha & \\ & & 1 \end{bmatrix} \begin{bmatrix} \mathbf{r}_1^\top & t_1 \\ \mathbf{r}_2^\top & t_2 \\ 0 & 0 & 0 & 1 \end{bmatrix}$$



Affine factorization

- Matlabでの実行内容

```
>> Y=load('M.txt');
>> mask=load('mask.txt');
>> [U,V]=damped_wiberg(Y, mask, 4)
[001] 1.000000e-01 4.574572e+08
[002] 1.000000e-02 9.673768e+07
[003] 1.000000e-03 6.650256e+07
...
[125] 1.000000e-04 6.263656e+03
[126] 1.000000e-05 6.237914e+03
[127] 1.000000e-06 6.237883e+03
[128] 1.000000e-07 6.237882e+03
>> plot3(U(:,1),U(:,2),U(:,3),'.')
>> axis equal
```



※ 分解不定性を解消していないので、結果は偶然